Vol. 24 No. 5 Oct. 1995

抗反射膜 SiN 的热退火特性

张书明 赛小峰 侯 洵

(中国科学院西安光学精密机械研究所半导体室 710068)

摘 要 本文研究了PECVD 抗反射膜 SiN 的热退火特性.测量结果表明,经过制备 GaAs 透射光阴极的热压粘结工艺的热退火处理,SiN 薄膜的折射率增加了约 0.1,薄膜厚度减少了约 15%.IR 透射谱分析表明,这是由于退火后膜中 H 的释放而引起化学键比例变化所致.此项工作为透射式 GaAs 光阴极抗反射膜的设计和制备提供了依据.

关键词 GaAs 透射光阴极;热退火;抗反射膜

0 引言

透射式 GaAs 光阴极对红光及红外辐射具有很高的灵敏度,这种光阴极的结构如图 1 所示. 在制备这种光阴极过程中,为了减小窗玻璃和 AlGaAs 外延层间的光反射损失,人们先在 AlGaAs 外延层上淀积一层抗反射膜,然后将其与窗玻璃热压粘结在一起^{1~3}. SiN 膜是一种非常良好的红外透射材料,常被选用作 AlGaAs 外延层与窗玻璃间的抗反射膜. 它的折射率在 2.0 左右,在 GaAs 光阴极的响应波段内(0.6 μm~0.9 μm)可以实现窗玻璃与AlGaAs 外延层之间的良好匹配,起有效的抗反射作用.一般情况下,各种抗(增)反射膜经过热退火处理后其折射率和厚度都要发生变化,而折射率和

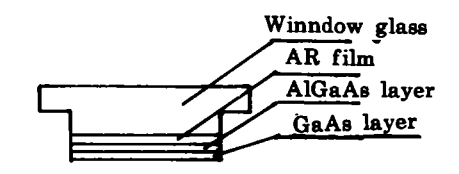


图 1 透射式 GaAs 光电阴极结构示意图

Fig. 1 Structuse sketch for GaAs transmission photocathod

膜厚又是抗(增)反射膜设计和制备的两个重要参量'.为此,本文研究了在制备透射式 GaAs 光阴极的 热压粘结工艺中 SiN 膜的热退火特性,并作了 IR 透射谱分析,为设计和制备有效的 GaAs 光阴极抗反射提供了依据.

1 SiN **膜的制备及热退火处理**

SiN 膜是用自制的 PECVD 系统制备的,该系统的结构在文献 5 中已作了详细描述. 在制备 SiN 膜时,首先将衬底片用标准的清洗方法清洗干净;然后把衬底装入系统,排气并对衬底加热. 当系统压力低于 2Pa 和衬底温度达到要求后,按一定比例通入反应气体 NH₃、SiN₄ 和 N₂ 生长薄膜,通过控制反应时间来控制膜厚,通过调整反应参量来控制膜的折射率. 生长参数可用范围是,衬底温度 100° ~ 400° 、反应室气压 43 Pa ~ 133 Pa ,极板间距 1.5 ~ 3 cm ,射频功率 30 ~ 100 W ,Si H₄ / (Si N₄ + NH₃ + N₂)流量比 0.3 ~ 0.7 .

收稿日期:1994-08-22

热退火处理是在 AlGaAs 外延层与玻璃热压粘结设备上进行的,真空机组由机械泵和溅射离子泵组成,真空度优于 10-6Pa. 热退火温度由 J702 温度控制仪控制. SiN 膜的热退火过程与热压粘结工艺完全一致,其退火温度一时间曲线如图 2 所示.

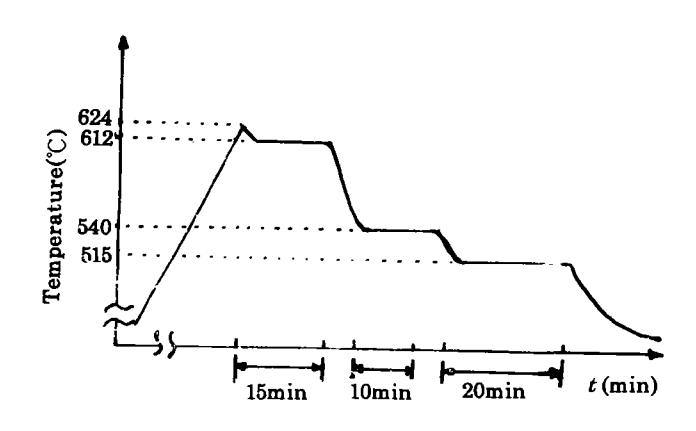


图 2 SiN 膜热退火曲线

Fig. 2 The annealing curve of SiN film

2 测试结果及 IR 分析

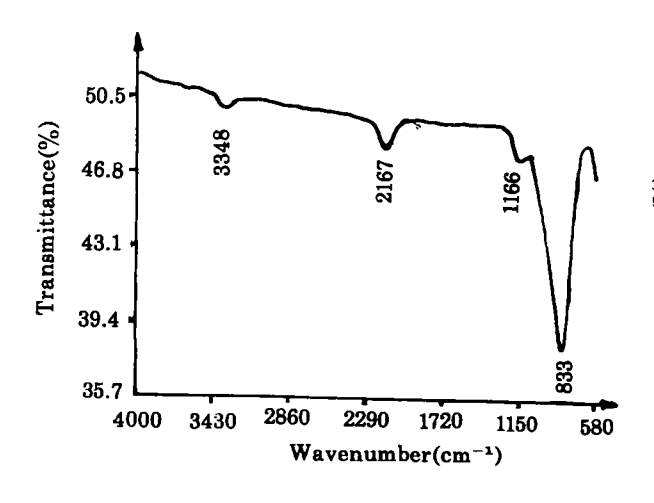
为了降低实验成本,我们用 GaAs 衬底代替 AlGaAs 外延片而不影响实验结果. 我们使用 GaAs 衬底制备 6 个不同折射率,膜厚 100nm 左右的 SiN 膜样品,并作了热退火处理. 其测量结果如表 1 所示. 折射率和膜厚度是用国产全自动椭偏仪测量的.

| 样品号 | 1 | 2 | 3 | 4 | 5 | 6 ' |
|--------------|--------|--------|--------|--------|--------|-------|
| | | | | | , | |
| 退火前折射率 | 1.934 | 1.956 | 1. 911 | 1.923 | 1.981 | 2.011 |
| 退火后折射率 | 2.042 | 2. 037 | 2.009 | 2.014 | 2. 089 | 2.112 |
| 退火前后折射率 | 0.108 | 0.081 | 0.098 | 0. 091 | 0.108 | 1.101 |
| 退火前膜厚(nm) | 103. 7 | 118.0 | 97. 2 | 96.5 | 109.6 | 110.5 |
| 退火后膜厚(nm) | 90.1 | 100.4 | 83. 0 | 81.4 | 96.3 | 93. 2 |
| 退火前后膜厚变化(nm) | 13.6 | 17.6 | 14.2 | 15. 1 | 13.3 | 17. 3 |
| 退火前后膜厚变化率 | 13.1% | 14.9% | 14.6% | 15.6% | 12.1% | 15.7% |

表 1 SiN 膜热退火前后的折射率和厚度

从测量结果可以看出,SiN 膜经过热退火处理后,折射率和厚度都发生了变化,折射率增加了约0.1,膜厚减少了约15%.

我们用 SGX-2 型傅里叶变换红外光谱仪测试了样品退火前后的红外透射谱,图 3 和图 4 是一组典型的结果,其它五组均与此类似. 从图 3 和图 4 我们看到退火前的四个吸收峰分别对应于 833cm⁻¹处的 Si-N 振动,2167m⁻¹处的 Si-H 振动以及 3348cm⁻¹和 1166cm⁻¹处的 N-H 振动. 经过退火处理后,3348cm⁻¹和 1166cm⁻¹处的 N-H 振动吸收峰已基本消失,Si-H 振动吸收峰强度变弱,而 Si-H 振动吸收则变强了. 根据吸收峰的强弱可以定性地推断 SiN 膜中各种化学键型的相对比例. 因此,我们可以推断,经过热退火处理,由于 H 的释出,N-H 键和 Si-H 键比例变小,而 Si-H 键比例变大了.



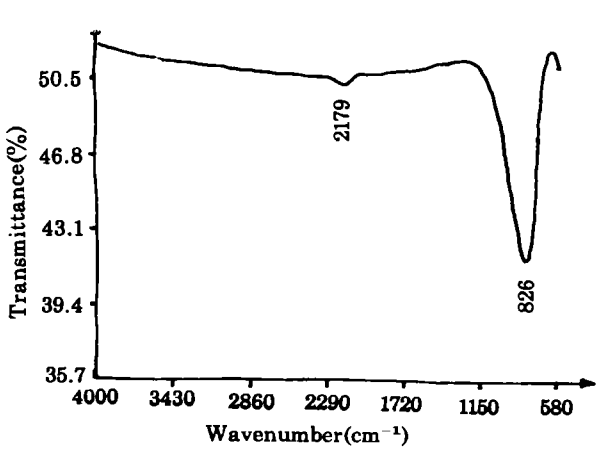


图 3 SiN 膜退火前的红外透射谱

Fig. 3 Infrared transmission spectrum of SiN film before annealing

图 4 SiN 膜退火后的红外透射谱

Fig. 4 Infrared transmission spectrum of SiN film after annealing

从结合能的角度来考虑,N-H 键的结合能比 Si-H 键的结合能大,则其离解能也应该大.因此,Si-H 键应比 N-H 键更容易断裂,但我们的实验结果相反.文献 6 认为此现象是由于 N-H 键断裂后部分 H 易于 Si 结合成 Si-H 键,因此,Si-H 键在热退火过程中处于一种非平衡的动态过程,另一方面 N-H 和 Si-H 键断裂后的 N 和 Si 又可以结合成 Si-H 键,增加了膜中的 Si-N 键比例,这样就使膜的致密度增加,从而使得 SiN 膜的折射率增加,厚度减小.

3 结论

- 1) SiN 膜经过 GaAs 光阴极制备工艺中的热压粘结热退火处理后,膜的折射率和厚度都发生了变化,折射率增加了 0.1,厚度减少约 15%.
- 2) IR 透射谱分析表明,折射率和厚度变化的主要原因是由于在退火过程中 H 的释出而引起膜中各种化学键比例的变化的结果.
 - 3) 此项研究结果为透射式 GaAs 光阴极的抗反射膜的设计和制备提供了有用的依据.感谢高鸿楷副研究员在实验过程中的大力支持和帮助.

参考文献

- 1 Antypass G A. et al. J Appl phys, 1978, 49(7): 4301
- 2 Antypass G A. US patent, 3, 959, 045 1976
- 3 李庚明. 第三届全国光电象器件会议,1978:58
- 4 李谟介·薄膜物理·武汉:华中师范大学出版社·1990:165~169
- 5 郭里辉等. 光子学报,1991,20(2):160~165
- 6 周南生等, 第五届全国半导体会议文集,1987:21~22

